

## پنهانه‌بندی آسیب پذیری آبخوان دشت ورامین با استفاده از GIS و ارزیابی تجربی اثر منطقه غیر اشبع در محیط DRASTIC

کاظم رنگزن<sup>۱</sup>، پرویز ضیائیان فیروزآبادی<sup>۲</sup>، لیلا میرزاوی<sup>۳</sup>، فرشاد علیجانی<sup>(۴)</sup>

۱. استادیار گروه زمین‌شناسی، دانشکده علوم، دانشگاه شهید چمران، اهواز

۲. استادیار گروه زمین‌شناسی، دانشکده علوم، دانشگاه تربیت معلم، تهران

۳. کارشناس ارشد سنجش از دور، دانشکده علوم، دانشگاه شهید چمران، اهواز

۴. دانشجوی دکتری هیدرولوژی، دانشکده علوم زمین، دانشگاه شهید بهشتی، تهران

تاریخ دریافت: ۱۶/۷/۸۶

تاریخ پذیرش: ۱۳/۳/۸۷

### چکیده

آسیب پذیری آبخوان آبرفتی دشت ورامین، واقع در جنوب شرق تهران، با استفاده از روش DRASTIC در محیط GIS مورد ارزیابی قرار گرفته است. پارامترهای DRASTIC بر اساس مهاجرت یون نیترات در محیط زیر سطحی، مورد واسنجی واقع شده و جهت حصول بیشترین انطباق با داده‌های مشاهده‌ای غلظت نیترات، وزن پارامترهای عمق آب زیرزمینی، خاک، محیط غیر اشبع و هدایت هیدرولیکی تصحیح شده است. نقشه نهایی نشان می‌دهد که ۶/۰٪ از آبخوان کاملاً آسیب پذیر، ۹۴/۱٪ دارای پتانسیل آلودگی خیلی زیاد، ۸٪ زیاد، ۱۷٪ متوسط تا زیاد، ۲۶٪ متوسط تا کم، و ۹٪ دارای پتانسیل آلودگی خیلی کم می‌باشند. نواحی شمال شرق و جنوب غربی منطقه از پتانسیل آلودگی بالاتری نسبت به قسمت‌های میانی دشت برخوردار هستند. اطراف شهر ورامین دارای آسیب پذیری متوسط تا زیاد می‌باشد. ضرایب جذب گمانه‌ای در منطقه غیر اشبع به صورت یک پارامتر با توزیع مکانی در یک سطح پیوسته در محیط GIS مدل سازی گردیده است تا آسیب پذیری آبخوان نسبت به آلاینده‌های جذب شونده مورد ارزیابی قرار گیرد. بر اساس مدل اثر منطقه غیر اشبع، نواحی حاشیه غربی و جنوبی دشت ورامین دارای آسیب پذیری زیادی می‌باشند و حداقل آسیب پذیری آب‌های زیرزمینی در شمال غرب دشت ورامین وجود دارد. بخش‌های مرکزی دشت ورامین دارای نمایه‌های جذب متوسط تا زیاد می‌باشند و از این نظر دارای خطر آلودگی آب زیرزمینی کمی هستند. به طور کلی نتایج سیستم DRASTIC با نتایج حاصل از ارزیابی منطقه غیر اشبع در دشت ورامین همبستگی نسبی دارد.

واژه‌های کلیدی: آسیب پذیری، آلودگی نیترات، منطقه غیر اشبع، GIS، DRASTIC.

### مقدمه

هیدرولیکی خاک، قدرت نگهداشت خاک و عوامل رقیق کننده مورد ارزیابی قرار می‌گیرد (Lowe & Butler, 2003). آسیب پذیری آب زیرزمینی با ترکیب نقشه‌های حساسیت با وضعیت پوشش گیاهی، اعمال کاربری اراضی، استفاده از آفت کش‌ها و میزان آب مورد استفاده جهت آبیاری تعیین می‌گردد (Aller et al., 1987; Connell & Daele, 2003). با توجه به آسیب پذیری آبخوان‌ها در مقابل آلاینده‌ها، بهترین راه مبارزه با آلودگی، جلوگیری از ورود آلاینده‌ها می‌باشد (Babiker et al., 2004). مفهوم آسیب پذیری آب‌های زیرزمینی اولین بار در اوخر دهه ۱۹۶۰ در فرانسه جهت

استفاده بیش از حد از کودهای شیمیایی ممکن است به بیشتر شدن محصول و توسعه بخش کشاورزی بیانجامد، ولی خطری جدی برای آب‌های زیرزمینی و بالطبع برای بهره‌برداران آن محسوب می‌شود. نقشه‌های آسیب پذیری آبخوان می‌تواند به عنوان یکی از راهبردهای پایش توسط نهادهای ذیربط مورد استفاده واقع گردد. نقشه‌های حساسیت و قابلیت آسیب پذیری<sup>۱</sup> نمونه‌هایی از این نقشه‌ها می‌باشند. حساسیت آبخوان بر اساس وضعیت هیدرولوژیکی (عمق آب زیرزمینی، حضور یا نبود لایه‌های محبوس کننده یا رسی)، تغذیه آب زیرزمینی، هدایت

۱. Sensitivity & vulnerability maps

\*نویسنده مرتبط

از GIS می‌تواند به عنوان ابزاری مفید در ارزیابی منشأهای آلودگی غیر نقطه‌ای آب زیرزمینی در مقیاس منطقه‌ای به کار رود (Loague & Corwin, 1998). تلفیق GIS و نمایه‌های قابلیت آسیب پذیری می‌تواند تهیه نقشه‌های پتانسیل آلودگی را تسهیل نموده و مدیریت منابع آب و کاربری اراضی را بهبود بخشد (Connel & Daele, 2003).

آبخوان دشت ورامین، واقع در جنوب شرق تهران، منبع تأمین آب شهری، صنعتی، و کشاورزی منطقه می‌باشد. غلظت نیترات آب زیرزمینی در مقادیر بیش از ۱۵ میلی گرم در لیتر (مقدار متأثر از فعالیت‌های انسانی) در بخش‌های وسیعی از آبخوان ورامین مشخص گردیده است (مهندسين مشاور پارس آب تدبیر، ۱۳۸۲). نیترات فروشی شونده از بکارگیری کودهای شیمیایی نیتروژن‌دار با ایجاد بیماری نیتروزامینس<sup>۱</sup> باعث سرطان و جهش‌زایی می‌شود (Fetter, 1999). کواده‌ی نیترات‌به‌آهادف رشد زایشی گیاهان و آبیاری سبزی کاری‌ها با فاضلاب‌های شهری از عمده‌ترین منشأهای آلودگی نیترات‌به‌آبخوان آبرفتی ورامین می‌باشد. آبیاری زمین‌های کشاورزی با آب زیرزمینی آلوده، به واسطه نفوذ فاضلاب انسانی باعث شیوع بیماری‌های خطرناکی مانند وبا (مانند آنچه که در تابستان سال ۱۳۸۴ در تهران روی داد)، اسهال و هپاتیت می‌شود. به منظور اطمینان از آنکه آبخوان آبرفتی ورامین بتواند به عنوان منبع تأمین آب سالم در منطقه باقی بماند، ضروری است تا مکان‌هایی در آبخوان که بیشتر مستعد دریافت و انتقال آلودگی هستند، شناسایی شوند. بنابراین پهنه‌بندی آسیب پذیری آب‌های زیرزمینی دشت ورامین بر روی یون نیترات به عنوان شاخص آلودگی از منشأهای کشاورزی و فاضلاب شهری با استفاده از روش DRASTIC تصحیح شده در محیط GIS، انجام گرفته است. همچنین آسیب پذیری آب‌های زیرزمینی دشت ورامین نسبت به آلاینده‌های جذب شونده با استفاده از برآورد نمایه جذب کلی در منطقه غیر اشیاع، مورد ارزیابی قرار گرفته است.

### زمین‌شناسی و هیدرولوژی

محدوده مورد مطالعه، پخشی از دشت ورامین واقع در ۴۰ کیلومتری جنوب شرق تهران می‌باشد که در ۵۱ درجه و ۲۹ دقیقه تا ۵۱ درجه و ۵۰ دقیقه طول جغرافیایی و ۳۵ درجه تا ۳۵ دقیقه عرض جغرافیایی قرار گرفته است. در این تحقیق وسعتی برابر با ۹۶۸ کیلومتر مربع از دشت ورامین به عنوان محدوده مورد مطالعه در نظر گرفته شده است. دشت ورامین از شمال به رشته کوه البرز و از جنوب به دشت با مرتفعات تپه ماهوری متصل می‌شود. رودخانه شور در غرب و دشت ایوانکی در شرق دشت ورامین قرار دارند. رودخانه شور از شمال غرب وارد دشت ورامین می‌شود و به طور خطی آبخوان دشت ورامین را تغذیه می‌نماید. متوسط بارندگی سالانه دشت ورامین حدود ۱۶۵ میلی متر می‌باشد. منطقه مورد مطالعه بر اساس طبقه‌بندی دومارتن در اقلیم خشک و در طبقه بندی آمریکا در بخش اقلیمی خشک سرد واقع می‌شود.

1. Overlay and index method

2. Original DI

3. Stack units

4. Nitrozamines

هشدار درباره آلودگی آب ارایه گردید (Vrba & Zaporozec, 1994). آسیب پذیری آب زیرزمینی به معنی امکان نفوذ و انتشار آلاینده‌ها از سطح زمین به درون سیستم آب زیرزمینی می‌باشد (Harter & Walker, 2001).

یکی از مدل‌هایی که بیشترین استفاده از آن جهت ارزیابی آسیب پذیری آب زیرزمینی نسبت به دامنه وسیعی از آلاینده‌های بالقوه (Evans & Mayers, 1990; Rundquist et al., 1991; Knox et al., 1993; Navulur & Engel, 1998; Fritch et al., 2000; Piscopo, 2001; Al-Adamat et al., 2003) صورت می‌گیرد، مدل DRASTIC می‌باشد (Al-Adamat et al., 2003). مدل DRASTIC بر اساس روش هم پوشانی و نمایه<sup>۲</sup> استوار می‌باشد که توسط آژانس حفاظت محیط زیست آمریکا (USEPA) و انجمن چاهه‌ای آب آمریکا (AWWA) ارایه شده است (Aller et al., 1987). این مدل، پتانسیل آلودگی یک ناحیه را با جمع نمودن عوامل کلیدی موثر بر انتقال مواد محلول ارزیابی می‌نماید. نمایه DRASTIC اصلی<sup>۳</sup> با استفاده از مهمترین عوامل هیدرولوژیکی موثر بر پتانسیل آلودگی آب زیرزمینی محاسبه می‌شود:

(۱)

$$Dlorg = DwDr + RwRr + AwAr + SwSr + TwTr + IwIr + CwCr$$

که  $D$  نمایه  $Dlorg$ ،  $R$  تغذیه آب زیرزمینی،  $A$  محیط آبخوان،  $S$  توپوگرافی،  $T$  اثر محیط غیر اشیاع،  $I$  هدایت هیدرولیکی آبخوان،  $r$  نرخ،  $w$  وزن می‌باشد.

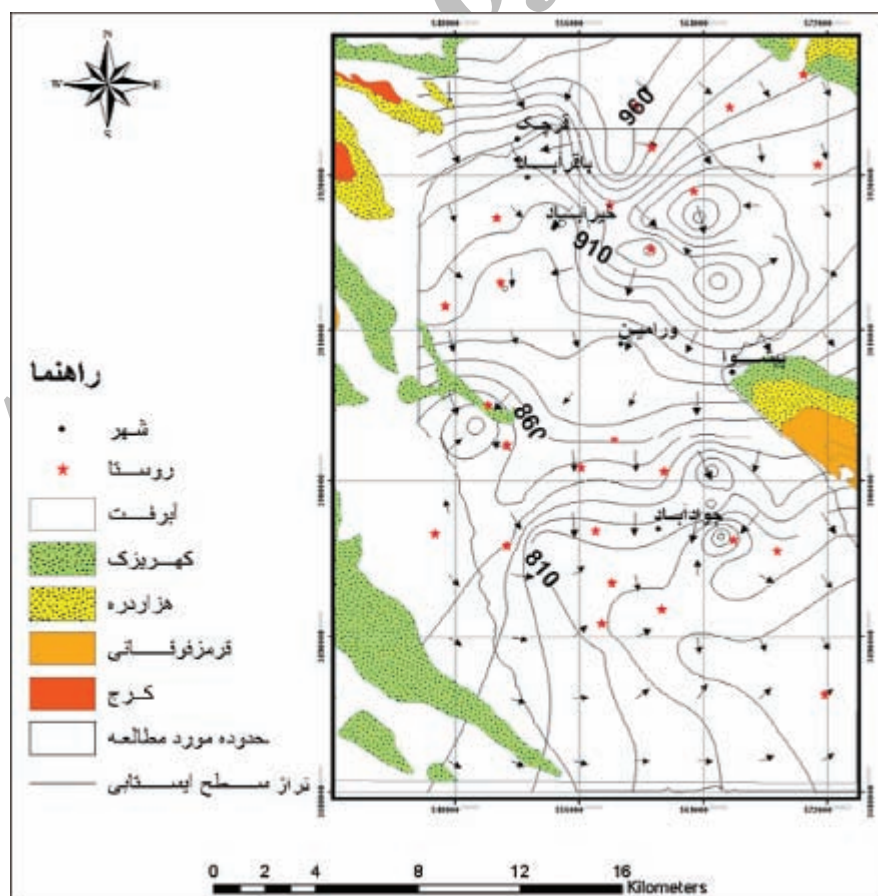
در ارزیابی آسیب پذیری تجربی یا روش‌های نرخ بندی، اغلب اثر منطقه غیر اشیاع، ساده انگاری می‌شود زیرا داده برای سرتاسر منطقه وجود ندارد. این قبیل روش‌ها نمی‌توانند تغییرات ضخامت و چینه‌بندی منطقه غیر اشیاع را به حساب آورند. برای غلبه بر این مشکل، در روش‌هایی مانند DRASTIC عوامل دیگری از قبیل عمق آب زیرزمینی، تغذیه، محیط آبخوان، و غیره نیز در ارزیابی‌ها مورد نظر قرار می‌گیرند. به هر حال، مسلم آنست که مهاجرت آلاینده‌های جذب شونده (همانند باکتری‌ها و فسفات) در محیط زیرسطحی شدیداً متأثر از ناهمگنی‌های موجود در منطقه غیر اشیاع می‌باشد. بر این اساس می‌توان چینه‌های مختلف لیتلولژیک را با استفاده از واحدهای انباشتی<sup>۴</sup> طبق‌بندی نمود. نقشه واحدهای انباشتی، میانگین عمودی توزیع خصوصیات لیتلولژیکی را از سطح زمین به سمت پایین تا عمق معین و به طور افقی (دو بعدی سطحی) بر روی یک منطقه مشخص نشان می‌دهد (Berg & Kampton, 1988).

کاربرد سیستم اطلاعات جغرافیایی (GIS) در ذخیره، تجزیه و تحلیل، و مدیریت حجم عظیم و متنوع اطلاعات مکانی، امری ضروری و اجتناب ناپذیر به نظر می‌رسد. مزیت GIS تسهیل ارزیابی آسیب پذیری آب زیرزمینی از طریق تهیه نقشه‌ها می‌باشد. شبیه سازی رایانه‌ای نقشه‌های آسیب پذیری با استفاده

کرده است که پیامد آن رخداد گسل‌ها و روراندگی‌ها در ارتفاعات و آبرفت دشت ورامین می‌باشد. رسوبات آبرفتی دشت ورامین، حاصل فرسایش ارتفاعات شمالی می‌باشند که توسط سیلاب‌ها و آبهای جاری انتقال یافته و در پایین دست نهشته شده‌اند. آبرفت دشت ورامین در شمال دشت عمدتاً حاوی رسوبات درشت دانه شنی و ماسه‌ای می‌باشد که به سمت جنوب درصد ذرات ریزدانه سیلتی و رسی در آبرفت افزایش می‌یابد، به طوری که درناحیه جنوبی دشت، آبرفت عمدتاً از رسوبات ریزدانه سیلتی و رسی تشکیل شده است. با توجه به همگن بودن، تحمل نکردن چین خوردگی، وجود سیمان سست میان ذرات، هدایت هیدرولیکی رسوبات آبخوان آبرفتی ورامین نسبتاً زیاد می‌باشد.

به منظور بررسی وضعیت سطح ایستابی آبخوان و تعیین جهات جریان آب زیرزمینی و تشخیص منابع تغذیه و تخلیه نفشه هم‌تراز آب زیرزمینی برای فروردین ماه ۱۳۸۳ ترسیم شده است (شکل ۱). روند کلی جریان آب زیرزمینی در دشت ورامین از حواشی شمالی ارتفاعات به سمت جنوب و جنوب شرقی می‌باشد. نواحی تغذیه عمدتاً آبخوان در شمال و شمال غرب دشت می‌باشد که با گرادیان هیدرولیکی مختلف سبب تغذیه دشت می‌گردند. مناطق تخلیه نیز در قسمت‌های مرکزی و جنوبی وجود دارند. رودخانه‌های جاجرود و کرج به ترتیب از شمال و غرب آبخوان دشت ورامین را تغذیه می‌کنند.

به لحاظ زمین‌شناسی (شکل ۱) واحدهای دوره پالئوسن در ناحیه مورد مطالعه رخنمون ندارند. سازندهای حاشیه شمال و شمال شرقی دشت ورامین اغلب مربوط به ولکانیک‌های اتوسن، مارن و آهک الیگومیوسن، شیل و سیلت همراه با رسوبات تیخیری میوسن می‌باشند. از میوپلیوسن رسوبات نوع کنگلومرا و سیلت رسی و یا ماسه‌ای بر جای مانده که به نام سری A معروف است. نهشته‌های کواترنر در کل منطقه گسترش دارد و حاصل فعالیت رودخانه‌ها و سیلاب‌های فصلی می‌باشد. با توجه به اهمیت این نهشته‌ها در مطالعات آبهای زیرزمینی و تشکیل مخازن آب در این لایه‌ها واحدهای مختلف کواترنر را بر اساس خصوصیات مورفو‌لوجیکی و سن به آبرفت‌های سری B یا سازند کهریزک و آبرفت‌های سری C تقسیم می‌کنند. سری B نتیجه حمل و انباشت رسوبات دانه ریز در بخش‌های خروجی دشت بوده و از سیلت و رس تشکیل یافته است. رسوبات سری C در نتیجه فرسایش و آب‌نشستگی ارتفاعات شمالی و حمل آن توسط سیلاب‌ها می‌باشد و از شن و ماسه و کمی رس تشکیل شده است. این رسوبات به لحاظ همگن بودن، تحمل نکردن چین خوردگی و سیمان سست میان ذرات، از نفوذ پذیری نسبتاً مطلوبی برخوردار بوده، آبخوان اصلی دشت ورامین در آن تشکیل شده است (مهندسين مشاور مهاب قدس، ۳۷۵). فعالیت‌های ساختاری شدید، چین خوردگی‌هایی در منطقه ایجاد



شکل ۱- نقشه هم‌تراز آب زیرزمینی دشت ورامین در فروردین ماه ۱۳۸۳ (پیکان‌ها نمایانگر جهت جریان آب زیرزمینی می‌باشد)

## ارزیابی آسیب پذیری آبخوان آبرفتی با استفاده از DRASTIC

از مدل ارتفاعی رقومی منطقه، نقشه هم عمق سطح ایستابی تهیه گردید. نرخ بندی<sup>۱</sup> پارامتر عمق سطح ایستابی با طبقه‌بندی نقشه هم عمق در ده کلاس بر اساس جدول ۱ انجام گردیده است. نقشه نرخ بندی شده عمق آب زیرزمینی مورد استفاده در مدل DRASTIC دشت ورامین در شکل ۲ نشان داده شده است.

### تغذیه خالص (R)

معمولًاً هر چه تغذیه زیادتر باشد، آسیب پذیری آب زیرزمینی به علت احتمال انتقال بیشتر آلاینده ها، بیشتر می‌گردد. برای مشخص نمودن توزیع مکانی تغذیه خالص، پهنه‌بندی تغییرات حجم ذخیره آب زیرزمینی در آبخوان تعیین گردید. به منظور بررسی تغییرات حجم آب زیرزمینی دشت ورامین از روش هم پوشانی نقشه تغییرات سطح آب زیرزمینی و نقشه توزیع قابلیت ذخیره استفاده شده است. میزان تغذیه با توجه به رابطه زیر قابل محاسبه است (Scanlon et al., 2002):

(۲)

$$R = S_y dh / dt = S_y \Delta h / \Delta t$$

که  $R$  نرخ تغذیه،  $S_y$  آبده‌ی ویژه،  $h$  ارتفاع تراز آب و  $t$  زمان است. در روش نوسانات تراز آب زیرزمینی از ضرب خیز سطح آب در آبده‌ی ویژه در هنگام فصل تغذیه برآورده مسنتقیم از تغذیه حاصل می‌گردد (Rushton, 2003). این روش بر اساس این فرض است که خیز در تراز آب زیرزمینی در آبخوان‌های غیر محبوس ناشی از تغذیه رسیده به تراز آب زیرزمینی است. حجم بالاً‌مدگی آب زیرزمینی به دست آمده به این روش متناسب با میزان تغذیه از طریق سطح خاک می‌باشد. بدین منظور در ابتدا، هیدروگراف واحد دشت در ماههای خشک (حداقل تراز) و تر (حداکثر تراز) در سال آبی ۱۳۸۲-۱۳۸۳ مشخص گردیده و نقشه هم تراز سطح ایستابی حداقل وحداکثر ایجاد شده است. با تفیری نقشه حداقل تراز از حداکثر تراز و ضرب کردن حاصل در نقشه قابلیت ذخیره، نقشه تغییرات حجم آب زیرزمینی یا تغذیه آبخوان تهیه گردید. نقشه مورد نظر بر حسب مقدار تغذیه و اهمیت آن در آسیب پذیری بر طبق جدول ۱ در طبقات مختلف نرخ بندی شده است (شکل ۲).

### محیط آبخوان (A)

محیط آبخوان و مواد تشکیل دهنده آن چگونگی روند جریان حاکم بر سیستم آب زیرزمینی در آبخوان را مشخص می‌کند. این پارامتر در ارتباط کامل با سازوکار عمدۀ انتقال آلدگی آب‌های زیرزمینی یعنی هم‌رفتی<sup>۲</sup> می‌باشد. برای تولید لایه مربوط به این پارامتر از لوگ چاه‌های مشاهده‌ای موجود در دشت ورامین استفاده شده است. بدین نحو که بر حسب نسبت جنس مواد تشکیل دهنده آبخوان در هر چاه مشاهده‌ای، رتبه‌هایی بین ۲ تا ۱۰ بر اساس جدول ۱ به هر نقطه اختصاص داده و سپس نقشه نرخ بندی شده محیط آبخوان تهیه گردیده است. (شکل ۲).

1. Rating

2. Advection

نرم افزار ArcGIS به دلیل قابلیت بالا در پردازش و تحلیل لایه‌های اطلاعاتی، دقت مطلوب، تسهیل در نمایش خر裘جی‌ها، و قابلیت اتصال به سایر نرم‌افزارها جهت تهیه مدل آبخوان آبرفتی ورامین مورد استفاده است. لایه‌های مختلف با استفاده از داده‌های عمق آب زیرزمینی، لوگ سنگ شناسی چاه‌ها، قابلیت انتقال آبخوان، ضخامت آبخوان، نقشه توپوگرافی و نقشه خاک تهیه شده‌اند. سپس در محیط GIS با روش هم پوشانی و نمایه پارامترهای مختلف، اقدام به تهیه نقشه آسیب پذیری آبخوان در سیستم DRASTIC گردیده است. نقشه DRASTIC اولیه بر اساس نقاط مشاهده‌ای غلط نیترات واسنجی گردیده و نقشه DRASTIC نهایی با تغییر وزن اعمالی به پارامترهای مختلف به دست آمده است. نقشه‌های معیار تهیه شده به دلیل هم مقیاس نبودن، با یکدیگر قابل مقایسه نمی‌باشند، زیرا ویژگی‌ها، در واحدهای متفاوتی اندازه گیری شده‌اند. بنابراین نقشه‌های معیار قبل از تلفیق باید هم مقیاس گردد. روش‌های مختلفی برای هم مقیاس کردن نقشه‌های معیار وجود دارد که شامل روش‌های قطعی، احتمالاتی و فازی می‌باشد. نرخ بندی که در مدل DRASTIC برای هم مقیاس کردن نقشه‌ها به کار می‌رود بر اساس روش قطعی می‌باشد. با توجه به شاخصهای آسیب پذیری که دارای ماهیت طیفی و دامنه‌دار هستند، اگر طبقه‌بندی، بر اساس روش قطعی انجام گیرد، موجب می‌شود که یک منطقه با کوچکترین تغییر از یک طبقه به طبقه بالاتر یا پایین تر جابجا شود. در این مطالعه پس از به دست آمدن نقشه‌های معیار در نرم افزار ArcGIS عدم قطعیت در پارامترهای DRASTIC از روش فازی برای هم مقیاس کردن آنها استفاده شد. بر حسب مقادیر موجود در هر کدام از نقشه‌ها و با توجه به تاثیر هر کدام بر روی پتانسیل آلدگی، به هر پیکسل درجه عضویتی بین صفر تا یک اختصاص داده شد. درجه عضویت یک نشان دهنده بیشترین تاثیر و درجه عضویت صفر نشان دهنده کمترین تاثیر بر پتانسیل آلدگی می‌باشد.

### تهیه نقشه‌های معیار عمق سطح ایستابی (D)

هرچه عمق آب زیرزمینی بیشتر باشد، زمان حرکت و ماندگاری هاله آلدگی فروشویی شونده از سطح بیشتر می‌گردد و در نتیجه احتمال از بین رفتن آلدگی با افزایش عمق سطح ایستابی افزایش می‌یابد. برای تهیه لایه عمق، موقعیت و تراز سطح آب ۶۱ چاه مشاهده‌ای در محیط Excel وارد گردید، سپس به فرمت قابل پذیرش برای ArcMap تبدیل شد. در ابتدا نقشه هم تراز سطح ایستابی مربوط به اسفند ماه ۱۳۸۳ بر اساس آمار چاه‌های مشاهده‌ای تهیه شد. سپس با استفاده از فاصله‌بندی ۱۰ متری برای منحنی‌های میزان توپوگرافی، مدل ارتفاعی رقومی منطقه تهیه شد و در نهایت با تفیری نقشه هم تراز سطح ایستابی

سطح فراهم می‌کنند و پتانسیل آلدگی بیشتری را ایجاد می‌نمایند. برای تهیه این پارامتر ابتدا از خطوط میزان، نقاط ارتفاعی و آبراهه‌های موجود در منطقه، (تهیه شده توسط سازمان نقشه‌برداری)، مدل ارتفاعی رقومی ایجاد گردیده و سپس نسبت به تهیه نقشه شیب اقدام شد. با توجه به هموار بودن دشت ورامین، پارامتر شیب توپوگرافی نرخ بندی شده از همگنی زیادی در منطقه برخوردار می‌باشد.

### تاثیر منطقه غیر اشباع (I)

منطقه غیر اشباع به ناحیه حد فاصل سطح ایستابی تا زون خاک اطلاق می‌گردد که غیر اشباع بوده و یا به طور ناپیوسته اشباع می‌باشد. جذب در محیط غیر اشباع یکی از سازوکارهای عملده بازدارندگی مهاجرت آلینده‌ها می‌باشد. جهت تولید این پارامتر در مدل، روشی مشابه با پارامتر محیط آبخوان به کار برده شده است. با این تفاوت که ضخامت و جنس لایه‌های بالای عمق برخورد به آب در لایه سنگ شناسی مورد استفاده قرار گرفت. با نرخ بندی نقطه‌ای چاههای مشاهده‌ای نقشه منطقه غیر اشباع تهیه گردیده است. (شکل ۲).

### محیط خاک (S)

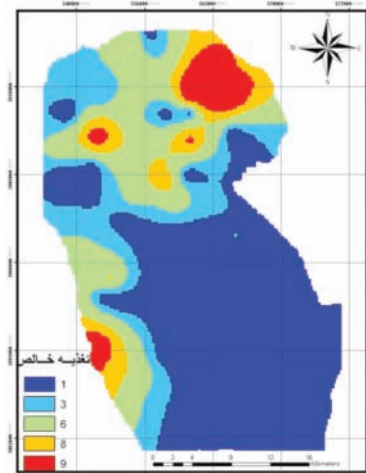
محیط خاک تاثیر مهمی در چگونگی تغذیه و متعاقب آن بر چگونگی حرکت آلینده دارد. وجود مواد بافت ریز مانند سیلت و رس، تراوایی خاک را کاهش می‌دهد و بر عکس مواد دانه درشت‌تر مانند شن، نفوذپذیری خاک و در نتیجه قابلیت انتقال آلینده‌ها به سیستم آب زیرزمینی را فزایش می‌دهند. در مدل DRASTIC از بافت خاک به عنوان عامل موثر در انتقال آلینده‌ها از سطح به زون غیر اشباع استفاده می‌شود. برای تهیه این لایه از نقشه خاک منطقه با مقیاس ۱/۵۰۰۰۰ استفاده شد. ابتدا نقشه کاغذی، اسکن و زمین مرتع شده و سپس رقومی گردیده است. سپس به هر کدام از چندضلعی‌های ایجاد شده بر حسب نوع و جنس خاک مربوط، عددی بین ۱ تا ۱۰ بر اساس جدول ۱ اختصاص داده شده و نقشه محیط خاک تهیه گردیده است. (شکل ۲).

### توپوگرافی (T)

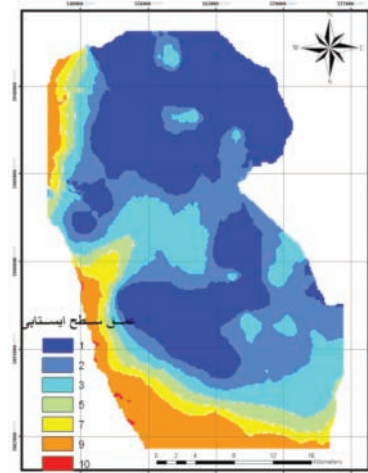
توپوگرافی بر حسب پهنی بندی شیب سطح زمین مورد توجه قرار می‌گیرد. شیب‌های کمتر، فرصت بیشتری را برای نفوذ آب آلوه از

جدول ۱- طبقه بندی و نرخ گذاری مربوط به پارامترهای مدل DRASTIC در منطقه مورد مطالعه

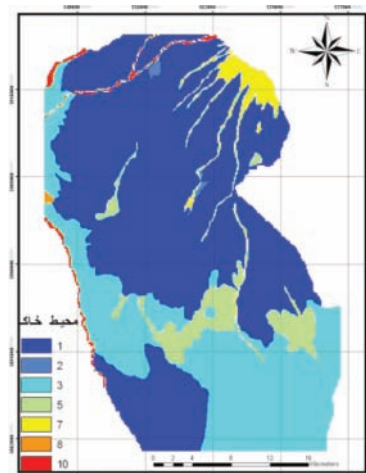
پارامتر	رتبه بندی	پارامتر	رتبه بندی	عمق تا سطح ایستابی (متر)
تغذیه خالص (میلی متر در سال)				
۱	۰-۲۵/۴	۱۰	۰-۱/۵	
۲	۲۵/۴-۵۰/۸	۹	۱/۵-۴/۶	
۶	۵۰/۸-۱۰۱/۶	۷	۴/۶-۹/۱	
۸	۱۰۱/۶-۱۵۲/۴	۵	۹/۱-۱۵/۲	
۹	>۱۵۲/۴	۳	۱۵/۲-۲۲/۹	
		۲	۲۲/۹-۳۰/۵	
		۱	>۳۰/۵	
محیط خاک				محیط آبخوان
۱۰	شن	۱۰	شن	
۹	ماسه	۸	ماسه	
۷	ماسه لومی	۵	مخلوط ماشه وشن و کمی سیلت و رس	
۵	لوم ماشه‌ای	۳	رس مخلوط با کمی شن و ماشه	
۳	سیلتی لوم	۲	رس	
۲	کلی لوم			
محیط غیر اشباع				توپوگرافی (شیب %)
۱۰	ماشه وشن	۱۰	۰-۲	
۷	ماسه سیلتی	۹	۲-۶	
۴	رس سیلتی و کمی شن و ماشه	۵	۶-۱۲	
۱	رس	۳	۱۲-۱۸	
		۱	۱۸<	
				هدایت هیدرولیکی (متربروز)
				۱-۲
				۲-۶
				۶-۱۴
				۱۴-۲۰
				۲۰-۴۰
				۴۰>



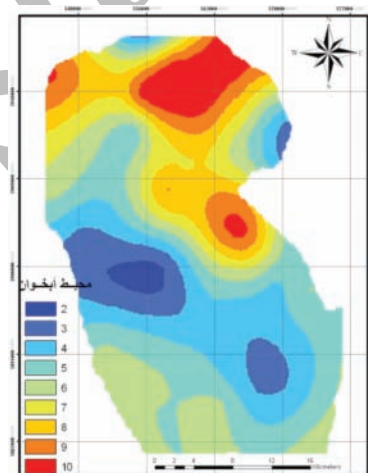
نقشه نرخ بندی شده تغذیه خالص



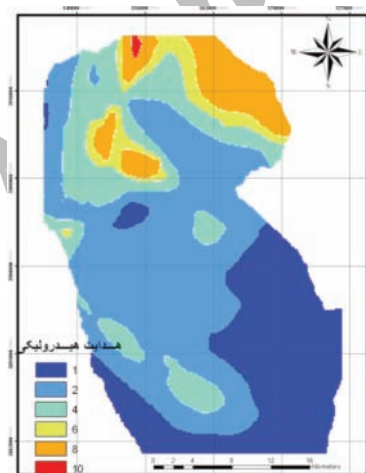
نقشه نرخ بندی شده عمق تاسطح آب زیرزمینی



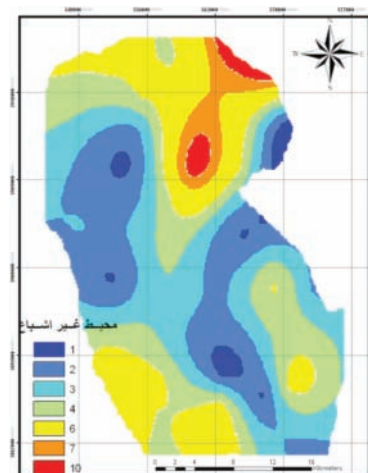
نقشه نرخ بندی شده محیط خاک



نقشه نرخ بندی شده محیط آبخوان



نقشه نرخ بندی شده هدایت هیدرولوگی



نقشه نرخ بندی شده محیط غیر اشباح

شکل ۲- نقشه‌های پارامتری نرخ بندی شده لایه‌های مورد استفاده قرار گرفته در سیستم DRASTIC دشت ورامین (نقشه لایه شیب به علت تغییرات ناچیز آن در سطح منطقه ارایه نشده است)

که عمدتاً در شمال دشت متمرکر می‌باشند، مقایسه گردید. با توجه به عدم انطباق موجود میان غلظت نیترات چاهها با نمایه DRASTIC، اقدام به تغییر وزن پارامترهای مختلف و واسنجی مدل‌ها با غلظت نیترات در چاه‌های مشاهده‌ای گردید. فریچ (Lake et al., 2000)، لیک و همکاران (Fritch et al., 2000) و همکاران (Panagopoulos et al., 2003) وزن پارامترهای سیستم DRASTIC را بر اساس غلظت نقطه‌ای نیترات در چاه‌ها مورد تصحیح قرار داده‌اند. بر این اساس ۲۴ مدل DRASTIC، موردنظر واسنجی قرار گرفت. داده‌های غلظت نیترات به چهار رده غلظت کم، متوسط، زیاد و خیلی زیاد تقسیم‌بندی گردیدند. مدل‌های پتانسیل آلودگی نیز به چهار طبقه با آسیب‌پذیری کم، متوسط، زیاد و خیلی زیاد تقسیم‌بندی شده‌اند. به منظور نمایان شدن اختلاف مدل‌ها با یکدیگر، تعداد چاه‌هایی که در طبقه آسیب‌پذیری مطابق با غلظت نیترات مشابه، قرار گرفته در عدد ۳ و چاه‌هایی که با یک و دو اختلاف با غلظت نیترات مربوط به خود قرار داشتند، به ترتیب در اعداد ۲ و ۱ ضرب شدند. سپس اعداد به دست آمده با یکدیگر جمع گردیدند. عدد حاصل بیانگر همبستگی نسبی مدل با نمونه‌های غلظت نیترات چاه‌های موجود می‌باشد که هرچه این عدد بالاتر باشد میان همبستگی بیشتر است. در نهایت مدل با بیشترین انطباق میان غلظت نیترات و نمایه آسیب‌پذیری انتخاب گردید که وزن‌های واسنجی شده آن در جدول ۲ آورده شده است. با هم پوشانی نقشه کاربری اراضی بر روی نقشه آسیب‌پذیری، نقشه خط‌الودگی آب‌های زیرزمینی تهیه شده است (شکل ۴).

### هدايت هيدروليكي (C)

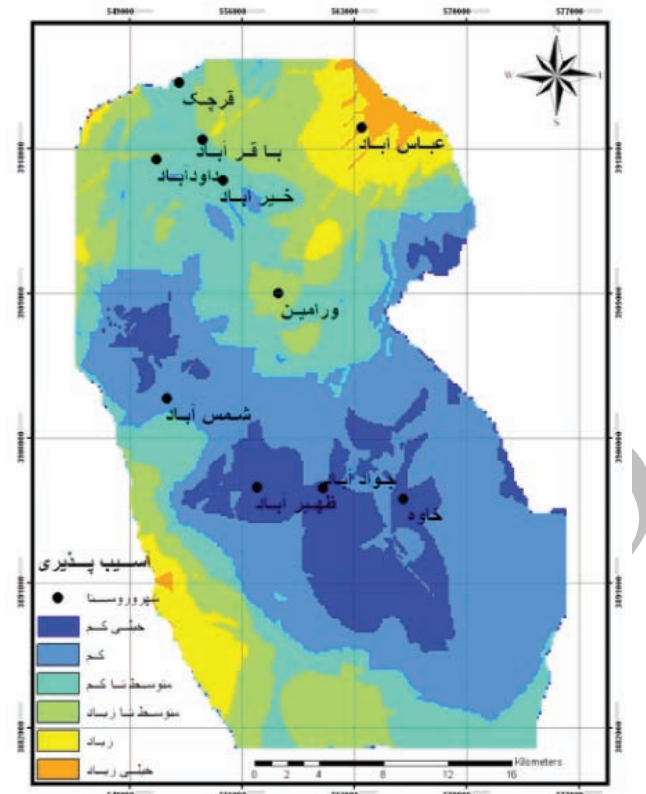
هدايت هيدروليكي نيز اثری مشابه با محيط آبخوان در مدل DRASTIC اعمال مي‌نماید. هرچه هدايت هيدروليكي آبخوان بيشتر باشد ميزان زوال آلودگي كاهش مي‌يابد. ابتدا نقشه هم ضخامت آبرفت بر اساس نتایج مطالعات ژئوكوريك (مهندسين مشاور مهاب قدس، ۱۳۷۵) و لوگ سنگ شناسی چاه‌های اكتشافی و بهره‌برداری که تا سنگ كف حفر شده‌اند تهيه گردیده و سپس با تفاضل نقشه هم عمق سطح ايستابي از نقشه هم ضخامت آبرفت، نقشه هم ضخامت آبخوان حاصل شده است. نقشه هم قabilite انتقال آبخوان آبرفتی ورامين نيز بر اساس مطالعات مهندسين مشاور پارس آب تدبیر (۱۳۸۲) رقومي شده و به محيط GIS وارد گردیده است. با تقسيم نمودن نقشه قabilite انتقال بر نقشه ضخامت آبخوان و نرخ بندي آن بر طبق جدول ۱، نقشه نهايی هدايت هيدروليكي برای سیستم DRASTIC تهيه شده است (شکل ۲).

با توجه به لايه‌های اطلاعاتي نرخ بندي شده، نمایه آسیب‌پذیری DRASTIC بر طبق معادله ۱ برای آبخوان آبرفتی ورامين محاسبه گردیده است. در ابتدا نقشه آسیب‌پذيری آبخوان ورامين با استفاده از وزن‌های پيشنهادي اوليه توسيط (Aller 1987) و همکاران (جدول ۲) تهيه گردیده است (شکل ۳). سپس مشابه با آنچه ديكسون (Dixon, 2005) و پاناگوپولوس و همکاران (Panagopoulos et al., 2006) ارایه داده‌اند، نمایه آسیب‌پذيری DRASTIC با نقاط مشاهده‌اي غلظت نیترات آب زيرزميني

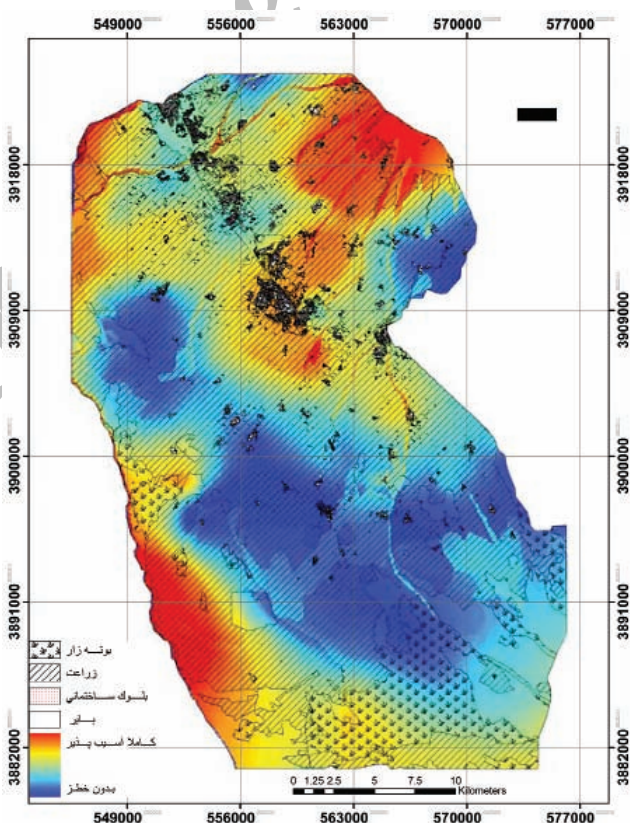
جدول ۲- وزن‌های اوليه و نهايی مدل DRASTIC در منطقه مورد مطالعه

وزن‌های واسنجی شده برای نیترات	وزن‌های اوليه	پارامتر
۴	۵	عمق تا سطح ايستابي
۴	۴	تعذيه خالص
۳	۳	محيط آبخوان
۳	۲	محيط خاک
۱	۱	توبوگرافی
۲	۵	محيط غيرأشباع
۱	۳	هدايت هيدروليكي

نقشه آسیب‌پذيری به دست آمده نمايانگر آنست که نواحي شمالي و جنوب غربي منطقه (۲۷



شکل ۳- نقشه قابلیت آسیب پذیری آبخوان دشت ورامین بر اساس مدل DRASTIC اصلی



شکل ۴- هم پوشانی نقشه کاربری اراضی بر روی نقشه آسیب پذیری آبخوان دشت ورامین

آب‌های زیرزمینی نسبت به آلاینده‌های جذب شونده دشت ورامین مدل‌سازی شده است. ظرفیت جذب یک محیط عمدتاً به وسیله محتوی کربن آلی و ظرفیت تبادل کاتیونی آن کترول می‌شود. در این مطالعه از مقادیر ارایه شده توسط هیل (Hillel, 1982) برای برآورد ظرفیت جذب واحدهای لیتوژئیکی منطقه غیراشباع استفاده شده است. ظرفیت جذب هر لایه می‌تواند به صورت حاصلضرب ضخامت لایه در ظرفیت ویژه محاسبه گردد (Bekesi & McConchie, 2000). برای دشت ورامین ابتدا لوگ چاههای گمانهای بر حسب ضخامت - واحد لیتوژئیکی منطبق با تقریب‌های هیل با اعمال قضاوت کارشناسی مفهومی گردیده است. سپس این مقادیر برای ستون منطقه غیر اشباع در هر گمانه انتگرال گیری شده و حاصل به عنوان نمایه جذب گمانه‌ای<sup>۱</sup>،  $\Delta$  استخراج گردیده است. با توجه به مراتب بزرگی مختلف نمایه‌های جذب گمانه‌ای، داده‌ها در عامل  $100\%$  ضرب شده و سپس وارد محیط GIS شده است. نمایه‌های جذب گمانه‌ای یا تقریب‌های نقطه‌ای ظرفیت جذب کلی، به صورت یک پارامتر با توزیع مکانی در یک سطح پیوسته مورد درون یابی قرار گرفت تا آسیب‌پذیری آلاینده‌های جذب شونده آبخوان آبرفتی ورامین مورد ارزیابی قرار گیرد. نمایه جذب گمانه‌ای چاههای مختلف به صورت دو بعدی سطحی مدل گردیده تا اثر منطقه غیراشباع بر روی آسیب‌پذیری آب‌های زیرزمینی دشت ورامین مشخص گردد.

نقشه ارزیابی آسیب‌پذیری آب زیرزمینی دشت ورامین بر اساس اثر منطقه غیر اشباع در شکل ۵ نشان داده شده است. دامنه نمایه‌های جذب گمانه‌ای دشت ورامین بین ۱ تا ۲۲۴ قرار دارد. پتانسیل آلودگی آب زیرزمینی نسبت عکس با نمایه جذب دارد. بر این اساس نواحی حاشیه غربی و جنوبی دشت ورامین دارای آسیب‌پذیری زیادی می‌باشند. در جنوب شرق دشت نیز کاهش نمایه‌های جذب مشخص شده است. در بخش‌های میانی متمایل به شمال دشت و در اطراف شهر ورامین، پتانسیل آلودگی آب‌های زیرزمینی به طور ناهنجاری افزایش می‌یابد که این حالت متاثر از رسوبات درشت دانه غالب در منطقه غیراشباع می‌باشد. حداقل آسیب‌پذیری آب‌های زیرزمینی در شمال دشت ورامین و در حوالی خبرآباد، باقرآباد، و فرجچک وجود دارد. بخش‌های مرکزی دشت ورامین دارای نمایه‌های جذب متوسط تا زیاد می‌باشند و از این نظر دارای ریسک آلودگی آب زیرزمینی کمی هستند.

### نتیجه گیری

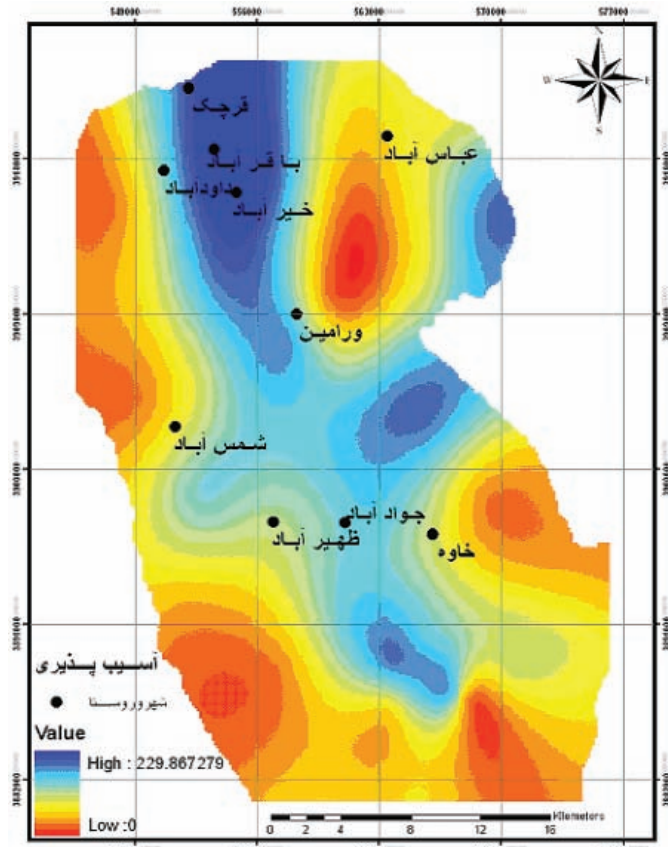
در این تحقیق آسیب‌پذیری آبخوان دشت ورامین نسبت

درصد مساحت کل) از پتانسیل آلودگی بیشتری نسبت به دیگر مناطق برخوردارند. همچنین بخش‌های مرکزی دشت (۴۷ درصد مساحت کل) آسیب‌پذیری خلی کم و کم دارند. دلیل آسیب‌پذیر بودن بیشتر بخش‌های شمالی احتمالاً در ارتباط با دانه درشت بودن رسوبات سطحی آبرفت و آبخوان همچین نرخ تغذیه زیاد می‌باشد. در جنوب غرب منطقه، عمق کم سطح آب زیرزمینی باعث افزایش آسیب‌پذیری آبخوان شده است. همچنین در امتداد مسیل رودخانه‌های جاگرود و کرج، پتانسیل آلودگی به دلیل درشت بودن بافت خاک بیشتر شده است. به دلیل نبود پراکندگی مناسب داده‌های نیترات و مت默کز بودن آنها در بخش‌های شمالی دشت، امکان مقایسه کامل توزیع غلظت نیترات آب زیرزمینی و نقشه آسیب‌پذیری ممکن نگردیده است. با مقایسه داده‌ها و نقشه آسیب‌پذیری می‌توان اظهار نمود که در مناطق شهری، غلظت نیترات به علت آلودگی نقطه‌ای شدیداً افزایش یافته است. در بخش شمالی منطقه، داده‌های نیترات و نقشه آسیب‌پذیری همبستگی قابل قبولی را با یکدیگر دارند. غلظت نیترات نمونه‌های آب زیرزمینی، به عوامل مختلفی مانند زمان نمونه‌برداری، عمق نمونه‌برداری و موقعیت چاه (نزدیکی به منابع آلاینده و یا نزدیکی به مسیر روخانه) بستگی دارد. بدین جهت ممکن است نقطه مشاهده‌ای دقیقاً معرف غلظت واقعی در آبخوان نباشد و موجب عدم همبستگی غلظت نیترات با نقشه آسیب‌پذیری شده باشد. یون نیترات خاصیت جذب شوندگی کمی دارد و همانند یون کلراید از منطقه غیر اشباع عبور می‌نماید. بر این اساس برخلاف آسیب‌پذیری ذاتی، آسیب‌پذیری نیتراته آب‌های زیرزمینی همبستگی چندانی با منطقه غیر اشباع ندارد. آنچه که مسلم است قابلیت آسیب‌پذیری با خطر آلودگی متفاوت می‌باشد، بدین معنی که ممکن است یک منطقه از نظر قابلیت آسیب‌پذیری در رده پایین تا متوسط قرار گیرد ولی به دلیل حضور منابع آلاینده در سطح دارای خطر بالایی از نظر آلودگی باشد. همچنین ممکن است منطقه‌ای با قابلیت آسیب‌پذیری زیاد به دلیل نبود منابع آلاینده در سطح، در معرض خطر آلودگی نباشد.

### ارزیابی تجربی اثر منطقه غیر اشباع بر روی آسیب‌پذیری آبخوان

پارامترهای منطقه غیر اشباع و عمق آب زیرزمینی (یا ضخامت منطقه غیر اشباع) تاثیر مهمی بر روی جذب ذرات آلاینده به مواد رسوبی در محیط زیر سطحی دارند. جذب یکی از سازوکارهای عمده بر روی ترقی آلودگی در منطقه غیر اشباع می‌باشد. در این تحقیق اثر ظرفیت جذب در منطقه غیر اشباع بر روی آسیب‌پذیری

1. Bore sorption index



شکل ۵- نقشه نهایی آسیب پذیری آبخوان آبرفتی ورامین بر اساس ارزیابی اثر منطقه غیر اشبع

خاوه) از پتانسیل آلودگی کمتری برخوردارند، اطراف شهر ورامین دارای آسیب‌پذیری متوسط تا زیاد می‌باشد. همچنین نواحی خیر آباد، داود آباد، باقرآباد و قرچک دارای پتانسیل آلودگی متوسط تا کم می‌باشند. بر اساس مدل ارزیابی اثر منطقه غیراشبع، نواحی حاشیه غربی و جنوبی دشت ورامین دارای آسیب‌پذیری زیادی می‌باشند. در جنوب شرق دشت نیز کاهش نمایه‌های جذب مشخص شده است. در بخش‌های میانی متمایل به شمال دشت و در اطراف شهر ورامین، پتانسیل آلودگی آب‌های زیرزمینی به طور ناهنجاری افزایش می‌یابد. حداقل آسیب‌پذیری آب‌های زیرزمینی در شمال غرب دشت ورامین وجود دارد. بخش‌های مرکزی دشت ورامین دارای نمایه‌های جذب متوسط تا زیاد می‌باشند و از این نظر دارای ریسک آلودگی آب زیرزمینی کمی هستند. به جز نواحی جنوب شرقی دشت و حوالی شهر ورامین، در بقیه دشت نتایج سیستم DRASTIC واسنجی شده با نتایج حاصل از ارزیابی منطقه غیر اشبع همبستگی نسبی دارد.

#### منابع

- مهندسین مشاور مهاب قدس، ۱۳۷۵. گزارش مطالعات

به آلودگی نیتراته با استفاده از مدل DRASTIC در محیط GIS پهنه‌بندی شده است. مدل DRASTIC اصلی با داده‌های غلظت نیترات آب‌های زیرزمینی واسنجی و سپس ضرایب پارامترهای آن مورد تصحیح واقع گردیده است. در مدل DRASTIC جهت ارزیابی آسیب‌پذیری آب‌های زیرزمینی دشت ورامین نسبت به آلودگی نیتراته، وزن پارامترهای عمق آب زیرزمینی، محیط غیر اشبع و هدایت هیدرولیکی نسبت به DRASTIC اصلی کاهش، وزن پارامتر محیط خاک افزایش یافته است. اختلاف عمده مدل DRASTIC آسیب‌پذیری نیتراته، با مدل اصلی در کاهش وزن اثر زون غیراشبع از ۵ به ۲ است که با پایداری یون نیترات در محیط غیر اشبع مطابق است. بر این اساس بر خلاف آسیب‌پذیری ذاتی، آسیب‌پذیری نیتراته آب‌های زیرزمینی همبستگی چندانی با منطقه غیر اشبع ندارد. نقشه نهایی نشان می‌دهد که  $\frac{6}{100}$  از آبخوان کاملاً آسیب‌پذیر،  $\frac{17}{100}$  دارای پتانسیل آلودگی خیلی زیاد،  $\frac{26}{100}$  متوسط تا زیاد،  $\frac{38}{100}$  کم، و  $\frac{9}{100}$  دارای پتانسیل آلودگی خیلی کم می‌باشند. به طور کلی نواحی شمالی، (عباس آباد) و جنوب غربی منطقه از آسیب‌پذیری بالا و بخش‌های میانی (ظهرآباد، جواد آباد و

- Harter, T. and L. G. Walker. 2001. Assessing vulnerability of groundwater. US Natural Resources Conservation Service.
  - Hillel, D. 1982. Introduction to Soil Physics. Orlando, Florida: Academic Press.
  - Knox, R. C., D. A. Sabatini, and L. W. Canter, 1993. Subsurface transport and fate processes. USA: Lewis Publishers.
  - Lake, I. R., A. A. Lovett, K. M. Hiscock, M. Betson, A. Foley, G. Sunnenberg, S. Evers, and S. Fletcher, 2003. Evaluating factors influencing groundwater vulnerability to nitrate pollution: developing the potential of GIS. *Journal of Environmental Management*. 68, 315–328.
  - Loague, K. and D. Corwin. 1998. Regional scale assessment of non-point source ground water contamination. *Hydrological Processes*. 12, 957–965.
  - Lowe, M., and M. Butler, 2003. Ground water sensitivity and vulnerability to pesticides, Heber and Round Valleys, Wasatch County, Utah. Miscellaneous Publication 03-5, Utah Geological Survey.
  - Navulur, K. C. S. and B. A. Engel. 1998. Groundwater vulnerability assessment to non-point source nitrate pollution on a regional scale using GIS. *Transactions of the American Society of Agricultural Engineers*. 41, 1671–1678.
  - Panagopoulos, G.P., A. K. Antonakos, and N. J. Lambrakis. 2006. Optimization of the DRASTIC method for groundwater vulnerability assessment via the use of simple statistical methods and GIS. *Hydrogeology Journal*, 14, 894–911.
  - Piscopo, G. 2001. Groundwater vulnerability map, explanatory notes, Castlereagh Catchment, NSW. Department of Land and Water Conservation, Australia, <http://www.dlwc.nsw.gov.au/care/water/gndwater/reports/pdfs>.
  - Rundquist, D. C., A. J. Peters, D. Liping, D. A. Rodekohr, R. L. Ehrman, and G. Murray. 1991. State-wide groundwater vulnerability assessment in Nebraska using the DRASTIC/GIS model. *Geo Cartography International*. 6, 51–58.
  - Rushton, K. R., 2003. *Groundwater Hydrology, Conceptual and Computational Models*. John Wiley.
- آب‌های زیرزمینی دشت ورامین.  
- مهندسین مشاور پارس آب تدبیر، ۱۳۸۲. مطالعات طرح  
جامع آب شهرهای منطقه ورامین.
- Al-Adamat, R. A. N., I. D. L. Foster, and S. M. J. Baban. 2003, Groundwater vulnerability and risk mapping for the Basaltic aquifer of the Azraq basin of Jordan using GIS, Remote sensing and DRASTIC. *Applied Geography*. 23, 303–324.
  - Aller, L. T., H. J. R. Bennett, R. Lehr, J. Petty, and G. Hackett. 1987, DRASTIC: A standardized system for evaluating groundwater pollution potential using geo-hydrogeologic settings. US Environmental Protection Agency Report. EPA600/2-EP87/036.
  - Babiker, I. S., M. A.A. Mohamed, T. Hiyama, and K. Kato. 2004, A GIS-based DRASTIC model for assessing aquifer vulnerability in Kakamigahara Heights, Gifu Prefecture, central Japan. *Science of the Total Environment*. xx, 1-14.
  - Bekesi, G. and J. McConchie. 2000. Empirical assessment of influence of the unsaturated zone on aquifer vulnerability, Manawatu region, New Zealand. *Ground Water*. 38, 2, 193-199.
  - Berg, R. C., and J. P. Kampton. 1988. Stack unit mapping of geologic materials in Illinois to a depth of 15 meters. *Illinois State Geological Survey Circular* 542, Champaign.
  - Connell, L. D. and G. V. D. Daele. 2003. A quantitative approach to aquifer vulnerability mapping. *Journal of hydrology*. 276, 71, 88-94.
  - Dixon, B. 2005. Applicability of neuro-fuzzy techniques in predicting ground-water vulnerability: a GIS-based sensitivity analysis. *Journal of Hydrology*, 309, 17–38.
  - Evans, B. M. and W. L. Mayers. 1990. A GIS-based approach to evaluating regional groundwater pollution potential with DRASTIC. *Journal of Soil and Water Conservation*. 45, 242–245.
  - Fetter, C. W. 1999. *Contaminant Hydrogeology*. 2d ed, Prentice Hall Inc., NJ.
  - Fritch, T. G., C. L. McKnight, J. C. Yelderman, and J. G. Arnold. 2000. An aquifer vulnerability assessment of the Paluxy aquifer, central Texas, USA, using GIS and a modified DRASTIC approach. *Journal of Environmental Management*. 25, 337–345.

& Sons Inc., 416 P.

- Scanlon, B.R., R. W. Healy, and P.G. Cook. 2002. Choosing appropriate techniques for quantifying groundwater recharge. *Hydrogeology Journal*, 10, 1, 18-39.

- Vrba, J. and A. Zoporozec. 1994. Guidebook on mapping groundwater vulnerability. IAH International Contribution for Hydrogeology, 16, 131 P.

Archive of SID